

А К А Д Е М И Я Н А У К С С С Р
СИБИРСКОЕ ОТДЕЛЕНИЕ
А В Т О М Е Т Р И Я

№ 2

1965

УДК 621.374.088

М. А. ЗЕМЕЛЬМАН

(Москва)

ЗАВИСИМОСТЬ СЛУЧАЙНЫХ ПОГРЕШНОСТЕЙ
АНАЛОГО-ЦИФРОВОГО ПРЕОБРАЗОВАТЕЛЯ
С АВТОМАТИЧЕСКОЙ КОРРЕКЦИЕЙ
СИСТЕМАТИЧЕСКИХ ПОГРЕШНОСТЕЙ
ОТ ШУМОВ ЭЛЕМЕНТОВ ЕГО СХЕМЫ*

Анализируется влияние шумов элементов схемы аналого-цифрового преобразователя на случайные погрешности. В частности, рассматривается зависимость флюктуаций нулевого уровня нуль-органа от шумов вольт-амперной характеристики диода, сопротивлений схемы и коэффициента усиления усилителя.

В [1] были определены случайные погрешности развертывающего аналого-цифрового преобразователя с автоматической коррекцией систематических погрешностей. Была показана их связь с флюктуациями нулевого уровня нуль-органа σ_0 , крутизны пилообразного напряжения σ_a , амплитуды σ_a и скорости нарастания выходных импульсов нуль-органа σ_v , порога срабатывания ключа измерителя интервалов времени σ_{U_n} . Однако все эти флюктуации, условно рассматривавшиеся в [1], как заданные, в действительности определяются параметрами схемы аналого-цифрового преобразователя и шумами его элементов.

Определив зависимость указанных величин (нулевого уровня нуль-органа, крутизны пилообразного напряжения, амплитуды и скорости нарастания выходных импульсов нуль-органа, порога срабатывания ключа) от параметров схемы преобразователя, можно найти связь флюктуаций, принятых в [1], как заданные, с параметрами схемы преобразователя и шумами его элементов. Таким образом, можно полностью определить случайные погрешности преобразователя.

Рассмотрим это на примере определения среднеквадратичного отклонения нулевого уровня нуль-органа σ_0 (см. [1]). Обобщенная схема диодного нуль-органа, входящего в аналого-цифровой преобразователь [1], дана на рис. 1 (u_r — генератор пилообразного напряжения; U_1 — усилитель).

В анализируемом преобразователе применен диодно-регенеративный нуль-орган с трансформаторной положительной обратной связью [2]. В этом нуль-органе сигнал положительной обратной связи с выхода усилителя U_1 вводится последовательно с диодом (на рис. 1 не показан).

* Материал доложен на VI Всесоюзной конференции по автоматическому контролю и методам электрических измерений в сентябре 1964 г. в Новосибирске.

но). Как известно, до момента срабатывания нуль-органа обратная связь не действует.

При рассмотрении случайной погрешности нулевого уровня, обусловленной шумами элементов схемы, другими погрешностями, в частности, погрешностью, обусловленной процессами заряда и разряда конденсатора C [3], пренебрегаем. Поэтому, считая, что в течение цикла преобразования напряжение на конденсаторе C , равное U_x , не меняется, эквивалентную схему нуль-органа можем представить в виде, показанном на рис. 2 (R_2 — внутреннее сопротивление генератора u_r ; R_3 — эквивалентное входное сопротивление усилителя, принимаемое постоян-

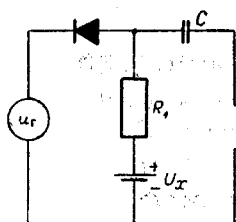


Рис. 1.

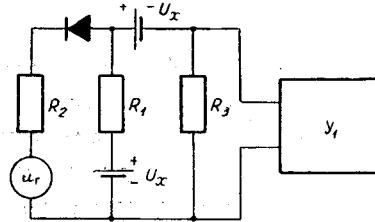


Рис. 2.

ным [3]). Сопротивление R_2 обычно незначительно, и им практически всегда можно пренебречь.

В схеме нуль-органа может быть применен как ламповый, так и полупроводниковый диод. Как известно [4], вольтамперная характеристика полупроводникового диода может быть представлена в виде

$$i_{\partial \text{п}} = I_0 (e^{ku_d} - 1). \quad (1)$$

Вольтамперная характеристика лампового диода при напряжениях на диоде, близких к нулю, имеет вид

$$I_{\partial \text{л}} = I_0 e^{ku_d}. \quad (2)$$

Рассмотрим схему с полупроводниковым диодом. Пусть $u_r = U_{\text{пп}} - \frac{1}{\alpha} t$. Можно показать, что изменение во времени напряжения на диоде до момента срабатывания нуль-органа, учитывая (1), выражается следующим уравнением (сопротивлением R_2 пренебрегаем):

$$U_d + I_{0d} R e^{ku_d} = U_x - U_{\text{пп}} + \frac{1}{\alpha} t + I_0 R_3, \quad (3)$$

где

$$R_3 = \frac{R_1 R_3}{R_1 + R_3}.$$

Диодно-регенеративный нуль-орган срабатывает в тот момент, когда коэффициент усиления разомкнутой петли обратной связи, увеличиваясь, становится равным единице. Это условие для схемы рис. 1 выражается соотношением [2]:

$$\frac{K_1 n}{1 + \frac{r_a}{R_3}} = 1, \quad (4)$$

где n — коэффициент трансформации трансформатора обратной связи

(на рис. 1 не показан);

r_d — дифференциальное сопротивление диода.

На основании (1)

$$r_d = \frac{1}{kI_0} e^{-ku_d}. \quad (5)$$

Из (4) и (5) можно определить, что напряжение на диоде в момент срабатывания нуль-органа должно быть равно

$$u_d = -\frac{1}{k} \ln [kI_0R_s(K_1n - 1)]. \quad (6)$$

Подставляя (6) в (3), найдем, что срабатывание нуль-органа происходит в момент времени (отсчет времени ведется с момента начала генерации напряжения пилообразной формы)

$$t = \alpha \left\{ U_{\text{пп}} - U_x - \frac{1}{k} \ln [kI_0R_s(K_1n - 1)] + \frac{1}{k(K_1n - 1)} - I_0R_s \right\}. \quad (7)$$

Находя частные дифференциалы t по различным параметрам схемы, которые могут флюктуировать, суммируя квадраты этих частных дифференциалов и извлекая корень квадратный из суммы, получим зависимость среднеквадратичного отклонения момента срабатывания нуль-органа от параметров его схемы и среднеквадратичных значений шумов этих параметров:

$$\sigma_t = \frac{\alpha}{k} \sqrt{\left\{ \ln [kI_0R_s(K_1n - 1)] - \frac{K_1n}{K_1n - 1} \right\}^2 \sigma_k^2 + (1 + kI_0R_s)^2 (\sigma_{I_0}^2 + \sigma_{R_s}^2) + \left(\frac{K_1n}{K_1n - 1} \right)^4 \sigma_{K_1}^2}. \quad (8)$$

Здесь σ_t — абсолютное значение среднеквадратичного отклонения момента срабатывания, сек;

σ_k , σ_{I_0} , σ_{R_s} , σ_{K_1} — соответственно относительные среднеквадратичные значения шумов параметров k и I_0 диода, сопротивления R_s и коэффициента усиления усилителя K_1 .

Из (8) видно, что σ_t не зависит от U_x и является, следовательно, составляющей шума нулевого уровня нуль-органа. Вторая составляющая этого шума обусловливается шумом момента срабатывания второго канала нуль-органа. Так как второй канал нуль-органа полностью идентичен первому, то суммарный шум нулевого уровня нуль-органа равен $\sigma_{0t} = \sigma_t \sqrt{2}$, т. е.

$$\sigma_{0t} = \frac{\sqrt{2}}{k} \sqrt{\left\{ \ln [kI_0R_s(K_1n - 1)] - \frac{K_1n}{K_1n - 1} \right\}^2 \sigma_k^2 + (1 + kI_0R_s)^2 (\sigma_{I_0}^2 + \sigma_{R_s}^2) + \left(\frac{K_1n}{K_1n - 1} \right)^4 \sigma_{K_1}^2}. \quad (9)$$

Для примера можно указать, что если применен диод Д-101 ($k \approx 40 \frac{1}{b}$; $I_0 \approx 0,3 \cdot 10^{-6} A$) и параметры имеют значения $R_s = 200 \text{ к}\Omega$, $K_1 = 10$, $n = 2$, то

$$\sigma_{0t} = 0,03 \sqrt{14,4\sigma_k^2 + 11,6(\sigma_{I_0}^2 + \sigma_{R_s}^2) + 1,2\sigma_{K_1}^2}.$$

Аналогично на основании (2) можно получить соответствующее выражение для схемы с ламповым диодом:

$$\sigma_{0L} = \frac{\sqrt{2}}{k} \sqrt{\left\{ \ln[kI_0R_s(K_1n-1)] - \frac{K_1n}{K_1n-1} \right\}^2 \sigma_k^2 + \sigma_{I_0}^2 + \sigma_{R_s}^2 + \left(\frac{K_1n}{K_1n-1} \right)^4 \sigma_{K_1}^2}. \quad (10)$$

Выразив остальные величины (α , U_a , v , U_n), влияющие на случайную погрешность, через параметры элементов схемы, можно аналогично определить зависимость σ_α , σ_a , σ_v , σ_{U_n} , т. е. зависимость случайной погрешности преобразователя (см. [1]), от шумов параметров элементов его схемы.

Выражения, подобные (9) и (10), полезны тем, что показывают наряду с выражениями, полученными в [1], как следует выбирать параметры схемы преобразователя с целью уменьшения случайных погрешностей преобразования.

ЛИТЕРАТУРА

1. М. А. Земельман. Точный аналого-цифровой преобразователь на грубых элементах. Измерительная техника, 1964, № 9.
2. Л. А. Меерович, Л. Г. Зеличенко. Импульсная техника. М., Изд-во «Советское радио», 1953.
3. М. А. Земельман. Нелинейность преобразования напряжения в интервал времени в цифровых измерительных системах. Измерительная техника, 1963, № 10.
4. И. П. Степаненко. Основы теории транзисторов и транзисторных схем. М.—Л., Госэнергоиздат, 1963.

Поступила в редакцию
22 сентября 1964 г.